

تحلیل حساسیت طول ناحیه‌ی مفصل خمیری در دیوارهای برشی بتن‌آرمه‌ی بالدار

فرزاد قادری باقی (دکتری)

علیرضا مرتضایی* (دانشیار)

علی خیرالدین (استاد)

دانشکده‌ی مهندسی عمران، واحد سمنان، دانشگاه آزاد اسلامی، سمنان، ایران

مهمشی عمان شرف، (زمستان ۱۴۰۰)، دوری ۲ - ۳، شماره ۲ / ۳، ص. ۴۳-۵۰، (پژوهشی)

زلزله‌های پیشین نشان داده‌اند که ساختمان‌های طراحی شده با دیوار برشی، عملکرد بسیار مناسبی در برابر زلزله دارند؛ به طوری که بخش قابل توجهی از جذب انرژی غیرکشسان، که در این اجزا صورت می‌گیرد، در ناحیه‌ی مفصل خمیری است که از طریق تعییرشکل‌های غیرکشسان سبب کاهش انرژی و روودی لرزه‌ی می‌شود. گسترش مفصل خمیری در دیوار برشی بنتی در منطقی صورت می‌گیرد که رفتار خیری، وابسته به شکل‌پذیری و جزیات دیوار برشی است. یکی از پراکنده‌ترین شکل‌های دیوارهای ساختمانی، دیوارهای برشی بنتی بالدار است؛ زیرا بال‌ها در آن‌ها، سختی بسیار زیادی در داخل و خارج صفحه دارند و قادر به تحمل تنشی‌های برشی بالایی هستند. در نوشتار حاضر، پارامترهایی که در طول ناحیه‌ی مفصل خمیری دیوارهای برشی بتن‌آرمه‌ی بالدار تأثیر می‌گذارند، بررسی و حساسیت آن‌ها بر روی طول ناحیه‌ی مفصل خمیری ارزیابی شده است. آنالیز حساسیت توسط پارامترهای متغیر مستقل با یک انحراف استاندارد و میانگین آن‌ها انجام شده است. برای این منظور، از روش شبیه‌سازی مونت‌کارلو، تحلیل نمودار تورنادو و روش مرتبه‌ی اول لنگر دوم برای تعیین عدم قطعیت‌های مرتبط با پارامترهای تحلیل استفاده شده است. نتایج نشان داده است که در میان متغیرهای طراحی در نظر گرفته شده، نسبت ارتفاع به طول جان، طول بال به طول جان، و سطح بار محوری از مهم‌ترین پارامترهای طراحی در ناحیه‌ی مفصل خمیری بوده‌اند، در صورتی که مقاومت تسامیم میلگرد‌های عرضی، کمترین اثر را در تعیین ناحیه‌ی مفصل خمیری داشته است.

farzadghaderibafti@gmail.com
a.mortezaei@semnaniau.ac.ir
kheyroddin@semnan.ac.ir

واژگان کلیدی: آنالیز حساسیت، دیوار برشی بالدار، مفصل خمیری، نمودار تورنادو.

۱. مقدمه

بالدار بتن مسلح در طراحی سازه‌های متوسط و بلندمرتبه به‌طور گستره شناخته شده است. هنگامی که دیوارهای سازه‌ی در موقعیت‌های مناسبی قرار می‌گیرند، می‌توانند مقاومت جانی مؤثری در برابر حرکت‌های فوی زمین داشته باشند. سختی بالقوه و مقاومت دیوارهای برشی بالدار آن‌ها را قادر می‌سازد تا بارهای جانی بزرگ را تحمل کنند. شکل‌پذیری دیوارهای برشی بالدار قابل توجه است، این بدین معنی است که دیوارهای برشی یک سیستم بالقوه با شکل‌پذیری بالا و یک درجه نامعینی مطلوب فراهم می‌سازند. از سوی دیگر، طراحان معمولاً تمايل به تمرکز دیوارهای سازه‌ی در اطراف راه‌پله و هسته‌ی آسانسور دارند تا با این روش تقابل عناصر سازه‌ی با طرح پلان طبقه را به کمینه رسانده و بیشینه استفاده از فضاهای قابل دسترس ساختمان حاصل شود. براین اساس، دیوارهای سازه‌ی خطی در شکل مستطیلی به طور نامنظم ادغام می‌شوند و شکل‌های L, T, C, I, L را می‌سازند.

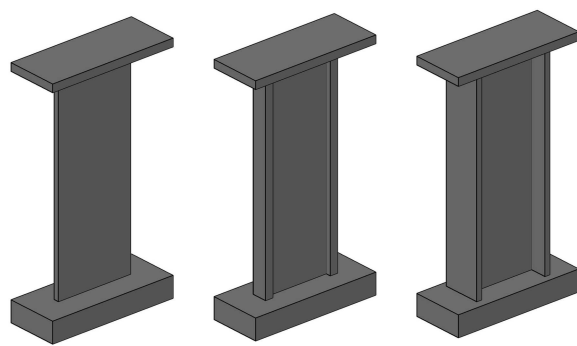
همان‌طور که توسط دستورالعمل ACI ۳۱۸-۱۹ مشخص شده است^[۱] در سازه‌های با سیستم‌های دوگانه، دیوارهای برشی اولین و مهم‌ترین اجزاء لرزه‌ی در

زلزله‌های پیشین در مناطق مختلف زلزله‌خیز مانند: ایران، ژاپن، امریکا، و نیوزیلند نشان داده‌اند که سازه‌های بتن مسلح در کشورهای با لرزه‌خیزی بالا ممکن است به سمت متوسط تا شدید آسیب پذیر باشند. از این رو انتخاب یک سیستم درست سازه‌ی برشی عملکرد مناسب تحت بار لرزه‌ی بسیار ضروری است. سیستم دیوار برشی بتنی به عنوان یک سیستم باربر جانبی مؤثر پذیرفته شده است که سبب بهبود عملکرد و یکپارچگی ساختمان‌های بتن مسلح تحت بارهای دینامیکی مانند زمین لرزه می‌شود. همان‌طور که در شکل ۱ مشاهده می‌شود، دیوارهای برشی معمولاً مقطع مستطیل شکل دارند و هنگامی که ستون‌های بتنی مسلح در هر دو انتهای دیوار قرار می‌گیرند، به عنوان اجزاء مرزی نامیده می‌شوند که منتج به شکل هالتی می‌شود و مقاطع دیوار بالدار از نقاطع دیوارها به وجود می‌آید. مفید بودن دیوارهای سازه‌ی

* نویسنده مسئول

تاریخ: دریافت ۱۸/۲/۱۴۰۰، اصلاحیه ۱۹/۴/۱۴۰۰، پذیرش ۲۶/۴/۱۴۰۰.

DOI: 10.24200/J30.2021.57830.2937



شکل ۱. انواع مقاطع دیوارهای برشی.

ناحیه‌ی مفصل خمیری ارتباط تنگاتنگی با رفتار لرزه‌بی مؤلفه‌های بتن دارد که برای جلوگیری از شکست در زمان وقوع زلزله باید به دقت بررسی شوند.^[۲]

ناحیه‌ی مفصل خمیری شامل، ناحیه‌ی میلگرد های تسليم شده، ناحیه‌ی بتن خورد شده و افزایش انحنای است. هنگامی که تمام مقطع عرضی تسليم شده باشد، به آن ناحیه‌ی خمیری گفته می‌شود. سطوح مفصل خمیری معمولاً در نواحی لنگر بیشینه ایجاد می‌شوند. روش‌های متعددی برای تعیین طول ناحیه‌ی مفصل خمیری در عضو بتنی وجود دارد که به دو دسته‌ی کلی تقسیم می‌شوند: روش‌های تحلیلی و آزمایشی. از آنجایی که ارزیابی نوشتار حاضر بر مبنای روش تحلیلی است؛ لذا در پخش حاضر، به بررسی روش تحلیلی پرداخته شده است.

۱.۱.۲. روش تحلیلی

برای تعیین و ارزیابی مشخصات سطح مفصل خمیری در اعضاء بتن مسلح، روش تحلیلی بر مبنای آنالیز لنگر - انحنای است که روشی دقیق برای تعیین رفتار تغییرشکل بار در یک سطح مقطع بتنی با استفاده از خواص مصالح غیرخطی است. با تأکید بر آینین‌نامه‌های موجود،^[۳-۴] روش‌های غیرخطی باید جهت تعیین ظرفیت دیوارهای برشی سازه‌بی تحت بارهای لرزه‌بی استفاده شود. برای بدست آوردن یک شبیه‌سازی دقیق تر با توجه به رفتار واقعی سازه‌ها، طراحان نیاز به اطلاعات تکمیلی شامل منحنی لنگر - انحنای دارند.^[۵] منحنی‌های رابطه‌ی لنگر - انحنای، معمولاً توسط سه وینگی مشخص می‌شود، که سه حالت ساختاری متفاوت را توصیف می‌کنند. اولین مشخصه به دست آوردن مقاومت کششی در دورترین تارهای کششی مقطع بتنی است ($M = M_{cr}$). هنگامی که بتن به مقاومت کششی خود می‌رسد، یک ترک در مقطع ظاهر می‌شود (ϕ_{cr}, M_{cr}): ترک با افزایش نیروی کششی گسترش می‌یابد که منجر به کاهش ممان اینرسی مقطع می‌شود. در مرحله‌ی بعد، مود تسليم در میلگردهای کششی رخ می‌دهد ($M = M_y$) و همزمان با جاری شدن فولاد کششی، کاور بتنی شروع به خرد شدن می‌کند و مود شکست با تشکیل مفصل خمیری در پایه‌ی دیوار سازه‌بی شروع می‌شود. نقطه‌ی سوم، نقطه‌ی تخریب است که به وسیله‌ی خورد شدن هسته‌ی بتن، کمانش میلگردهای طولی و شکست میلگردهای عرضی رخ می‌دهد. این مرحله می‌تواند به وسیله‌ی تخریب میلگردهای کششی یا شکست بتن فشاری پایان یابد.

در تعیین ظرفیت دورانی اعضاء بتنی، انحنای مقطع و نیز توزیع انحنای تام طول عضو در نظر گرفته شده است. براساس اصول مکانیک مواد، مقدار چرخش بین دو نقطه‌ی (p, q) برابر سطح زیر منحنی چرخش بین دو نقطه‌ی (p, q) (را برابر ۱):

$$\theta_{pq} = \int_p^q \phi dx \quad (1)$$

قبل از جاری شدن میلگردهای فولادی، انحنای به صورت خطی روی دیوار سازه‌بی توزیع می‌شود. در بی جاری شدن میلگردهای کششی، مقدار انحنای در مناطق زیرین دیوار برشی به سرعت افزایش می‌یابد و انحنای خمیری در نواحی خاص از دیوار مستمرک می‌شود. یک نقطه‌ی مرزی وجود دارد (ϕ_y) که مقدار آن بعد از جاری شدن، از محل افزایش ناگهانی انحنای دیوار به سمت پایه‌ی دیوار است. در حالی که خارج از ناحیه‌ی مذکور از نقطه‌ی مرزی تا بالای دیوار، مقدار انحنای تقریباً بدون تغییر می‌ماند. ناحیه‌ی اشاره شده از پایه‌ی دیوار تا نقطه‌ی مرزی، طول تسليم نامیده می‌شود (L_y). با توجه به معادله‌ی ۲، می‌توان چرخش خمیری (θ_p) را تعیین کرد:

$$\theta_p = \int_0^{(L_y)} |\phi(x) - \phi_y| dx \quad (2)$$

۲. مبانی نظری پژوهش

۲.۱. ناحیه‌ی مفصل خمیری

وقوع عمل غیرکشسان در تعداد زیادی از دیوارهای برشی بتن مسلح در اثر حرکات قوی زمین قابل مشاهده است. مطالعات گستردگی‌بی جهت ارزیابی رفتار دیوارهای بتن مسلح مستطیلی به خصوص برای طول ناحیه‌ی مفصل خمیری تحت بارهای یکنواخت و چرخی‌بی صورت گرفته و نتایج آن‌ها در مقررات آینین‌نامه‌های طراحی ساختمان استفاده شده است. مفاصل خمیری را می‌توان توسعه‌ی تئوری طراحی شکل بذیره در سازه‌های مقاوم در برابر زمین‌لرزه دانست. انرژی لرزه‌بی از طریق تغییرشکل خمیری ناحیه‌ی مشخصی در انتهای عضو، بدون هیچ تخریبی در مابقی سازه جذب می‌شود. طول ناحیه‌ی مفصل خمیری، نقش مهمی در بازسازی لرزه‌بی ساختمان‌های قدیمی و همچنین طراحی لرزه‌بی سازه‌های جدید دارد. مشخصات

تامسون و والاس^۴ (۲۰۰۴)، آزمایش‌هایی بر روی چهار دیوار بتن مسلح لاغر با سطح مقطع مستطیلی و T-شکل با مقادیر کافی میلگردی‌های عرضی در اجزاء مرزی انجام دادند. نمونه‌های دیوار تحت تغییرمکان‌های چرخه‌یی و یک بار محوری فشاری ثابت قرار گرفتند.^[۱۱] همچنین ایشان نشان دادند که طول مفصل خمیری به طور قابل توجهی متأثر از کرش مقطع است. با توجه به سنجش، طول مفصل خمیری $L_w = ۰/۵L_w$ ، $۰/۶۷L_w$ ، $۰/۳۳L_w$ ، $۰/۵L_w$ ، $۰/۷۶L_w$ تعیین شد.^[۱۲]

پرتوی گیوریانی^۵ (۲۰۱۱)، در آزمایشگاه یک دیوار برشی بتی ۵ طبقه را در مقیاس واقعی برسی کردند. بارگذاری دیوار برشی، به صورت چرخه‌یی با افزایش دامنه تحت تکثیر مکان اعمال شده بود. نتایج نشان داد که گسترش ناحیه‌ی خمیری با افزایش مقادار رانش افزایش می‌بادد. در دریفت $۲/۵\%$ ، مقدار آن حدود ۱۱۰٪ طول مقطع دیوار بود.^[۱۳]

$$L_p = ۱/۱L_w \quad (۸)$$

حالت^۶ و همکاران (۲۰۲۰)، طول ناحیه‌ی مفصل خمیری دیوارهای برشی C شکل بتن مسلح سبک را با استفاده از برنامه‌ی VecTor^۳ مطالعه کردند و در آنها، رابطه‌ی^۹ را برای محاسبه‌ی L_p پیشنهاد دادند:^[۱۴]

$$L_p = (۰/۵L_w - ۰/۱۵H_e)(۱ - ۳ALR)(۱/۶e^{-۰/۱۵}) \leq L_w \quad (۹)$$

که در آن، L_w طول دیوار، H_e ارتفاع مؤثر دیوار، ALR سطح بار محوری و e پارامتر تنش برشی نرمال شده هستند.

مehmed^۷ و همکاران (۲۰۱۵)، یک برنامه‌ی آزمایشی شامل نمونه‌ی دیوار برشی بتی با مقیاس بزرگ با نسبت ۲ برابر را ارائه کردند. دیوارها تحت بار نیمه‌استاتیک چرخه‌یی معکوس آزمایش شده بودند.^[۱۵] نتایج نشان داد که اجزاء مرزی با آرماتورهای محدودکننده‌ی کم، سبب کماش آرماتورهای طولی می‌شود. علاوه بر این، یک اثر توانمن شدید در پاسخ‌های خمش و برش مشاهده شد که در طول ناحیه‌ی مفصل خمیری مؤثر بوده است. مطالعه‌ی دیگری بر روی رفتار غیرخطی دیوار برشی توسط رانو^۸ و همکاران (۲۰۱۶)، از طریق آزمایش‌های بارگذاری یکنواخت و چرخه‌یی بر روی سه نمونه دیوار برشی یکسان با مقیاس متوسط انجام شد. نتایج نشان داد که نسبت بین شکل‌پذیری اصلی و شکل‌پذیری موضوعی (شکل‌پذیری احناء) یک پارامتر اساسی است که عملکرد تسییم را در هر سازه‌یی کنترل می‌کند. در مورد دیوارهای برشی مستطیلی و دیوارهای با مقیاس متوسط، جایی که L_p/L از $۲/۳$ تا $۰/۳$ تغییر می‌کند، نسبت $(\Delta h/\mu_c)$ (شکل‌پذیری احناء/شکل‌پذیری جابه‌جاگی)، بین $۱/۷$ تا $۱/۲$ تغییر می‌کند.^[۱۶]

والاس و موهل^۹ (۱۹۹۲)، یک فرایند تحلیلی برای تعیین نیاز به اجزاء مرزی محدود شده در دیوارهای برشی بتی که تحت بارگذاری زلزله قرار دارند، ارائه کردند و اظهار داشتند که طول مفصل خمیری معمولاً بین $۰/۵L_w$ و $۰/۷L_w$ قرار دارد.^[۱۷] با تکیه بر نتایج آنالیز غیرخطی اجزاء محدود، بهل و آدبار^{۱۰} (۲۰۱۱)، یک عبارت برای طول مفصل خمیری دیوار برشی بتی مسلح براساس تابعی از طول دیوار، نسبت برش - خمش و نیروی محوری مطرح کردند.^[۱۸] ایشان از برنامه‌ی ۲ VecTor برای آنالیز غیرخطی استفاده و یک روش برای تأثیر تنش برشی اعمال شده در L_p ارائه کردند. با توجه به نتایج ۲۲ آنالیز دیوارهای جدا شده، رابطه‌ی^{۱۰} که برآورده از طول مفصل خمیری را تخمین می‌زند، پیشنهاد شده است.

$$L_p = (۰/۲L_w + ۰/۰۵z)(۱ - ۱/۵P/f'_c Ag) \leq ۰/۸L_w \quad (۱۰)$$

چرخش خمیری (θ_p) را می‌توان با محاسبه‌ی سطح زیر منطقه‌ی هاشورخورده در شکل ۲ مطابق رابطه‌ی ۳ بدست آورد:

$$\theta_p = \int_0^{l_y} |\phi(x) - \phi_y| dx \quad (۳)$$

که در آن، (ϕ_u) و (ϕ_y) مقدار اتحنا در بار نهایی و تسییم هستند، L_y طول معادل ناحیه‌ی مفصل خمیری است که بعد از آن قرار است اتحنا خمیری ثابت باشد.

$$L_p = \frac{\theta_p}{(\phi_u - \phi_y)} = \frac{\theta_p}{\phi_p} \quad (۴)$$

بنابراین، طول معادل ناحیه‌ی مفصل خمیری با ضرب طول تسییم در ضرب ب بدون بعد (α) که ضرب ب شکل یا ضرب توزیع اتحنا نامیده می‌شود (۱) به دست می‌آید:

$$L_p = \alpha L_y \quad (۵)$$

عوامل متعددی در منحنی دوران اثر دارد: نحوه‌ی بارگذاری، اتحنا نهایی و اتحنا تسییم، خصوصیات مصالح، نسبت آرماتورهای فشاری و کششی، آرماتورهای عرضی، منحنی تنش کرنش بتن و فولاد در کشش و فشار، اثر نیروی محوری و شرایط تکیه‌گاهی، از پارامترهایی هستند که در چرخش مفصل خمیری تأثیرگذارند.

۱.۲. تاریخچه‌ی پژوهش

از آنجا که تعیین طول ناحیه‌ی خمیری، یک گام اساسی در تخمین تغییرشکل‌های پسماند و پاسخ بار - تغییرمکان اجزاء بتن است، بسیاری از پژوهشگران آن را برسی و در مورد آن انتقاد کردند. در مقایسه با اجزاء سازه‌یی، مانند تیرها و ستون‌ها، مطالعات کمتری بر روی ویژگی‌های ناحیه‌ی مفصل خمیری در دیوارهای برشی، به خصوص دیوارهای برشی بالدار انجام شده است. در بخش حاضر، برخی از معادلات پیشنهادی شناخته شده برای دیوارهای برشی معرفی شده است: اوسترل^۱ و همکارانش (۱۹۸۴)، آزمایش‌هایی بر روی دیوارهای سازه‌یی بتن مسلح جداسازی شده که تحت بارهای برجسته غیرکشسان قرار داشتند، انجام دادند و طول مفصل خمیری را معادل طول افقی مقطع دیوار به دست آورند.^[۱۹]

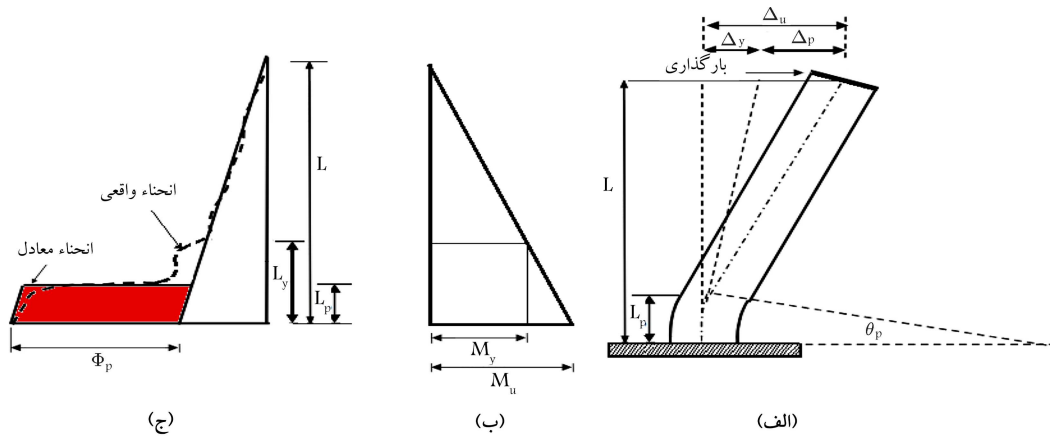
باولی و پریستلی^۲ (۱۹۹۳)، گزارشی از آزمایش‌های انجام شده روی دیوارهای بتی شکل‌پذیر با مقطع مستطیلی که تحت بارهای لرزه‌یی قرار داشتند، با مطالعه‌ی کماش خارج صفحه انجام دادند و برای بیان طول ناحیه‌ی مفصل خمیری از رابطه‌ی ۶ استفاده کردند.^[۲۰]

$$L_p = ۰/۲L_w + ۰/۰۴۴H_w \quad (۶)$$

که در آن، H_w ارتفاع کلی دیوار و L_w طول افقی دیوار است. پاناگیوتاکوس و فردیس^۳ (۲۰۰۱)، نتایجی از آزمایش روی نمونه‌ی دیوار مستطیلی و دیوار دمبلی ارائه دادند. دیوارها با اجزاء مرزی محدود شده و فاقد اجزاء مرزی آزمایش شدند و نمونه‌ها تحت بارهای چرخه‌یی و یکنواخت قرار گرفتند.^[۲۱] ایشان برای تعیین طول ناحیه‌ی مفصل خمیری روابط ۷ را ارائه دادند:

$$\frac{L_{p,cy}}{L_{p,mon}} = \frac{۰/۱۲L_w + ۰/۰۱۴a_{sl}db_f_y}{۱/۵L_{p,cy}} = \frac{۰/۱۸L_w + ۰/۰۲۱a_{sl}db_f_y}{\quad} \quad (۷)$$

که در آن، $L_{p,cy}$ طول مفصل خمیری برای بارهای چرخه‌یی، f_y نتش تسییم میلگردی‌های کششی، a_{sl} مقدار متغیر ۵ براساس لغزش آرماتورهای طولی هستند.



شکل ۲. توزیع انحنای و تغییرشکل جانبی مقطع یک دیوار سازه‌ی بی.

دقت و روش شبیه‌سازی مونت‌کارلو برای تحلیل حساسیت سازه‌ها قابل استفاده است.

در نوشتار حاضر، سه روش مختلف آنالیز نمودار تورنادو (TDA)، روش مرتبه‌ی اول لنگر دوم (FOSM) و روش شبیه‌سازی مونت‌کارلو (MCS)، به منظور شناسایی پارامترهای مهم در تعیین مشخصات و طول ناحیه‌ی مفصل خمیری مفصل خمیری دیوارهای پرشی بتن آرمه با الدار استفاده شده است. از طریق آنالیز حساسیت، عدم قطعیت مربوط به خصوصیات مصالح، هندسه و بارگذاری برای تعیین پارامترهای مؤثر در خصوصیات ناحیه‌ی مفصل خمیری در نظر گرفته شده است.

۱.۲. شبیه‌سازی مونت‌کارلو (MCS)

شبیه‌سازی مونت‌کارلو (MCS)، یکی از پرکاربردترین روش‌ها برای تحلیل مسائل تصادفی است که براساس تکرار تصادفی نمونه‌برداری در محاسبه‌ی نتیجه‌ها استوار است. الگوریتم روش MCS، شامل این مراحل است: ۱. تعریف دامنه‌ی ورودی، ۲. تولید نمونه‌های تصادفی از دامنه و اجرای عملیات قطعی بر روی آنها، ۳. جمع‌بندی نتیجه‌ی حاصل از تک‌تک محاسبات در نتیجه‌ی نهایی. در انتهای، برای بررسی دقیق نتیجه‌ی شبیه‌سازی، آزمون همگرایی صورت می‌گیرد. به دلیل دقیق و قدرت روش MCS، از روش MCS غالباً برای ارزیابی سایر روش‌های آنالیز احتمالی استفاده می‌شود.^[۲۴]

۲. آنالیز تورنادو

آنالیز تورنادو (TDA)، یک روش آنالیز حساسیت احتمالی است که در نمودارهای تورنادو، آنالیز تصمیم‌گیری برای ارزیابی تأثیر متغیرهای تصادفی مختلف در پارامترهای آنالیز تصمیم‌گیری می‌شود و شامل یک سری میله‌ی افقی^[۱۵] است، که هر کدام از پاسخ استفاده می‌شود و مدلی از تأثیرهای تصادفی متفاوت را در نمودار تورنادو نمایش می‌دهند. این نمودارها می‌توانند تأثیرهای مختلف را در نمودارهای تورنادو، نتایج آنالیز حساسیت متغیرهای مستقل را تجسس می‌کنند (شکل ۳). نمودارهای تورنادو در سال‌های اخیر در مسائل سازه‌ی بی نیز استفاده شده‌اند.^[۲۵-۲۶]

در آنالیز تورنادو، هر پارامتر مقداری مختلفی را می‌پذیرد. برای ارزیابی حساسیت، برای هر متغیر تصادفی دو مقدار بالا و پایین از توزیع احتمالاتی متغیر وابسته انتخاب می‌شوند، در حالی که سایر متغیرها در میانگین مقدارشان ثابت در نظر گرفته می‌شوند. سپس برای هر متغیر تصادفی، تابع خروجی با درنظر گرفتن دو مقدار

که در آن، $V = Z/M$ و $L_w = P/V$ طول دیوار و P نیروی فشاری محوری است که با علامت مثبت در نظر گرفته می‌شود.

مطالعات دیگری،^[۲۰-۱۸] درباره‌ی طول ناحیه‌ی مفصل خمیری در دیوارهای پرشی بتن مسلح انجام شده است. با توجه به بررسی ادبیات پیشین، تاکنون طول مفصل خمیری دیوارهای پرشی بالدار کمتر مطالعه شده است. علاوه بر این، ارزیابی روابط پیشنهادی برای M_p نشان می‌دهد که تعداد پارامترهای اندکی از دیوار پرشی در معادلات وارد شده است.

۲. آنالیز حساسیت

هدف از آنالیز حساسیت در چهارچوب مهندسی سازه، بررسی تغییرات عملکرد یک سازه یا یک المان سازه‌ی با تغییرات پارامترهای عدم قطعیتی است. برای برآورد ظرفیت یک عضو از سازه، آنالیزهای سازه‌ی شامل بسیاری از مفروضات مربوط به پارامترهای منجر به یک درجه بزرگی از نامعینی است. عدم قطعیت ناشی از تغییر در متغیرهای مستقل است، که ممکن است با مشخصات مصالح و خواص هندسی واستهله باشد که به عنوان عدم قطعیت مسلم^[۱۱] شناخته می‌شود. بنابراین برای بررسی تغییرات عدم قطعیت‌های مرتبط با متغیرهای تصادفی جهت ارزیابی پاسخ سازه‌ی یک ساختار احتمالی لازم است که ارزیابی احتمالی ذکر شده به وسیله‌ی آنالیز حساسیت حاصل می‌شود که به عنوان یک گام متوسط در آنالیز عدم قطعیت در نظر گرفته می‌شود. این کار با مدد شناسایی متغیرهای ورودی با بیشترین تأثیر در پاسخ‌های سازه انجام می‌شود.^[۲۲]

عدم قطعیت‌های پارامترهای ورودی بر روی حساسیت پارامترهای پاسخ در قاب‌های فولادی توسط برخی پژوهشگران^[۲۳] نیز بررسی شده است. همچنین پژوهشگران دیگری،^[۲۹-۲۸] از روش آنالیز نمودار تورنادو (TDA) برای آنالیز حساسیت لرزه‌یی در تخمین خسارت سازه‌های بتن مسلح استفاده کردند. سوولینزل^[۱۲] (۲۰۱۳) هم با استفاده از آنالیز نمودار تورنادو، حساسیت پاسخ یک پل فولادی قوسی را به پارامترهای مختلف مطالعه کردند.^[۲۰] بیکر و کرنل^[۱۳] (۲۰۰۸)، برای پیش‌بینی آسیب واردہ به سازه‌ها در آنالیز حساسیت از روش مرتبه‌ی اول لنگر دوم (FOSM) استفاده کردند.^[۲۱] لی و موسالام^[۱۴] (۲۰۰۵)، حساسیت نیاز لرزه‌یی در دیوار پرشی بتن مسلح را با استفاده از روش مرتبه‌ی اول لنگر دوم بررسی و از روش‌های مختلف تحلیل حساسیت برای تخمین پارامترهای طراحی پاسخ لرزه‌یی ساختمانها استفاده کردند.^[۲۲] نتایج ایشان نشان داده است که روش مرتبه‌ی اول لنگر دوم با همان

با استفاده از لنگر دوم y بیان شده در معادله ۱۴ و با ساده‌سازی، واریانس تابع مطابق روابط ۱۵ و ۱۶ استخراج می‌شود:

$$\sigma_y^2 = \sum_{i=1}^N \sum_{j=1}^N COV(x_i, x_j) \frac{\delta g(x_1, \dots, x_N)}{\delta x_i} \quad (15)$$

$$COV(x_i, x_j) = \rho_{x_i x_j} \sigma_{x_i} \sigma_{x_j} \quad (16)$$

که در آن، $\rho_{x_i x_j}$ ضرایب همبستگی را برای مقادیر تصادفی x_i, x_j نشان می‌دهد.

۳. هدف و نحوه انجام پژوهش

برای ارزیابی طول ناحیه‌ی مفصل خمیری دیوارهای برشی بتنی بالدار ضروری است که با تحلیل حساسیت بر روی پارامترهای مختلف دیوار برشی بتن آرمه‌ی بالدار، پارامترها با تأثیرگذاری بیشتر در طول L_p مشخص شود. در مطالعه‌ی حاضر، ۱۸ پارامتر که با تکیه بر ایدیات پژوهش ممکن است در طول ناحیه‌ی مفصل خمیری در دیوارهای برشی بتن آرمه‌ی بالدار تأثیرگذارد، با سه روش شیوه‌سازی مونتاژ کارلو، نموداری شبهی به گردباد تولید می‌شود. علاوه بر این، توزیع احتمالی برای هر متغیر نموداری شبهی به انتخاب در نظر گرفته می‌شود، که برای کرانه‌های حدی بالا، صدک ۹۰٪ و با ۲٪ انتخاب شده است. در نظر گرفته می‌شود، که برای دستیابی به یک نمونه‌ی بزرگ‌تر، یا برای کرانه‌ی حدی پائین، صدک ۱۰٪ (برای دستیابی به $\sigma - \mu + \sigma$ از توزیع گوسی) پیشنهاد شده است که هر دو در نوشتار حاضر استفاده شده است. در نوشتار حاضر، از نموداری شبهی تورنادو، برای شناسایی اهمیت نسبی پارامترهای مدل عدم‌قطعیت در تخمین مشخصات ناحیه‌ی مفصل خمیری دیوارهای برشی بتن آرمه‌ی بالدار استفاده شده است.

۳.۲. آنالیز مرتبه‌ی اول لنگر دوم (FOSM)

روش مرتبه‌ی اول لنگر دوم (FOSM)، یک روش تقریبی است که در تئوری احتمال برای یافتن میانگین و انحراف استاندارد متغیر خروجی با استفاده از اطلاعات متغیر ورودی (میانگین، انحراف معیار و ضرایب همبستگی) استفاده می‌شود.^[۲۸] به عبارت دیگر، مسئله‌ی که باید حل شود، به شرح رابطه‌ی ۱۱ است:

$$y = g(x_1, x_2, \dots, x_N) = g(x) \quad (11)$$

که در آن، y تابعی از متغیرهای تصادفی مختلف x_i است. با تعیین مقادیر μ_x و σ_x [۱۲] که به ترتیب ماتریس‌های میانگین و واریانس - کوواریانس مقادیر ورودی تابع y است، μ_y و σ_y میانگین و انحراف استاندارد تابع y را باید پیدا کرد. تخمین آنالیز مرتبه‌ی اول لنگر دوم (FOSM)، تابع توزیع متغیرهای ورودی را در نظر نمی‌گیرد. این بازورد براساس بسط تابع تیلور پاسخ y در محدوده‌ی متوسط مقادیر است، در واقع به شرطی که انحرافات (x) نسبت به x در دسترس باشد، بسط سری تیلور به شرح رابطه‌ی ۱۲ است:

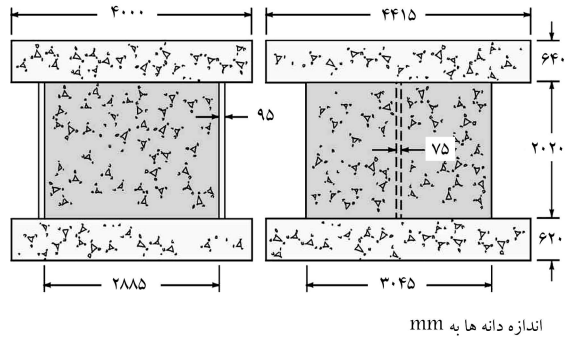
$$y = g(\mu_{x_1}, \mu_{x_2}, \dots, \mu_{x_N}) + \dots \quad (12)$$

با درنظر گرفتن فقط جملات مرتبه‌ی اول از معادله‌ی ۱۲ یعنی نادیده گرفتن جملات مرتبه‌های بالاتر، تابع به شرح رابطه‌ی ۱۳ تخمین زده می‌شود:

$$y \approx g(\mu_{x_1}, \mu_{x_2}, \dots, \mu_{x_n}) + \dots \quad (13)$$

با درنظر گرفتن مقادیر موردنظر هر دو طرف، میانگین تابع y به صورت رابطه‌ی ۱۴ بیان می‌شود:

$$\mu_y \approx g(\mu_{x_1}, \mu_{x_2}, \dots, \mu_{x_n}) \quad (14)$$



شکل ۳. نمایش شماتیک نمودارهای تورنادو.

حدی متغیر ورودی سنجیده می‌شود. مراحل اخیر برای تمام متغیرها تکرار می‌شود. در انتهای، برای هر متغیر دو مقدار حدی خروجی حاصل می‌شود. فاصله‌ی دو مقدار حدی ذکر شده، طول میله‌ها را تشکیل می‌دهند. میله‌ها به صورت نزولی مرتب و نموداری شبهی به گردباد تولید می‌شود. علاوه بر این، توزیع احتمالی برای هر متغیر با ۲٪ انتخاب در نظر گرفته می‌شود، که برای کرانه‌های حدی بالا، صدک ۹۰٪ و شانزدهمین و هشتاد و چهارمین (تقریباً $\sigma - \mu + \sigma$ از توزیع گوسی) پیشنهاد شده است که هر دو در نوشتار حاضر استفاده شده است. در نوشتار حاضر، از نموداری شبهی تورنادو، برای شناسایی اهمیت نسبی پارامترهای مدل عدم‌قطعیت در تخمین مشخصات ناحیه‌ی مفصل خمیری دیوارهای برشی بتن آرمه‌ی بالدار استفاده شده است.

۴. تأیید مدل‌های تحلیلی

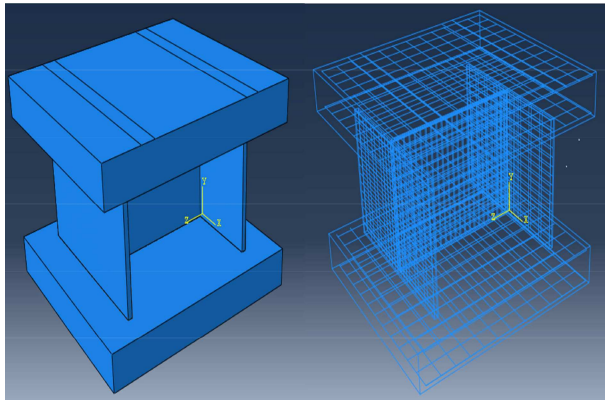
به منظور کارایی و دقت روش مدل‌سازی، از برنامه‌ی اجزاء محدود آباکوس^{۱۶} استفاده و مدل‌های تحلیلی در تعیین پاسخ غیرخطی دیوارهای برشی بالدار بتن مسلح به سیله‌ی مقایسه‌ی عددی و مقادیر اندازه‌گیری شده‌ی نمونه‌های آزمایشگاهی تأیید شده است. از میان آزمایش‌های صورت گرفته برای این منظور، نمونه‌های دیوار برشی آزمایشگاهی وکیو و پالرمو^{۱۷} (۲۰۰۲)،^[۲۹] و برخی دیگر از کارهای پژوهشی آزمایشگاهی کامپسکور و سولوکوب^{۱۸} (۲۰۱۱)،^[۲۰] تامسون، فرنچ و اسریتاران^{۱۹} (۲۰۱۷)،^[۲۱] که با نسبت‌های مختلف ارتفاع به طول، شبکه‌های میلگردی و فولادی، و شرایط بارگذاری انتخاب شده‌اند؛ در اینجا به طور اجمالی، مقایسه‌ی مدل‌سازی تحلیلی با کار آزمایشگاهی وکیو و پالرمو^{۲۰} (۲۰۰۲)^[۲۰] که در دانشگاه تورنتو انجام شده است، ارائه شده است.

۴.۱. مدل‌سازی هندسی

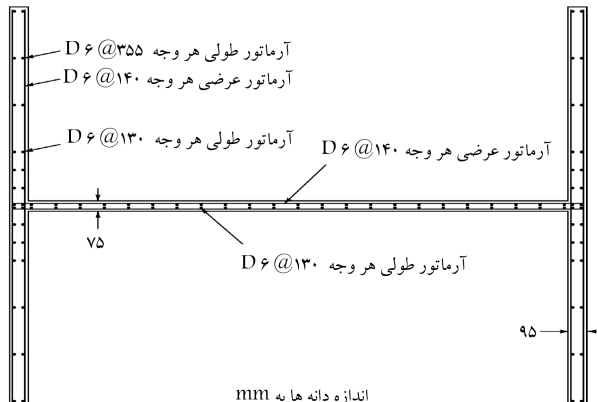
وکیو و پالرمو^{۲۰} (۲۰۰۲)، پاسخ دو دیوار برشی بالدار با مقیاس واقعی را تحت بارگذاری چرخه‌ی آزمایش کرده‌اند. نمونه‌ها، یک دیوار برشی بالدار یک طبقه‌ی H شکل با نسبت $h_w/l_w = 0.67$ بوده است. نمونه‌های آزمایش شده با دو دال تقریباً صلب

جدول ۱. مشخصات آماری متغیرهای انتخاب شده.

ردیف	پارامترهای عدم قطعیت	ناماد	میانگین	واحد	کواریانس	توزیع	مرجع [۴۳ و ۴۴]
۱	سطح بار محوری	(p/p_0)	-	-	۰/۱	لوگ نرمال	الیسکود و همکاران
۲	نسبت ارتفاع به طول جان	(H/L_w)	-	۴	۱/۵	لوگ نرمال	لی و مسالم
۳	نسبت طول بال به طول جان	(L_f/L_w)	-	۰/۵	۰/۱	لوگ نرمال	لی و مسالم
۴	مقاومت فشاری بتن	(f_c)	۲۵	MPa	۰/۱۸	نرمال	الیسکود و همکاران
۵	بیشینه‌ی کرنش فشاری بتن	(ε_c)	۰/۰۰۲	-	۰/۲۸۵	نرمال	الیسکود و همکاران
۶	بیشینه‌ی کرنش فشاری بتن	(ε_t)	۰/۰۰۰۱۵	-	۰/۲۸۵	نرمال	الیسکود و همکاران
۷	مقاومت کششی بتن	(f_t)	۲/۵	MPa	۰/۱۸	نرمال	میرزا و مک‌گریگور
۸	مدول کشسانی بتن	(E_c)	۲۴۲۷۴	MPa	۰/۰۷۷	نرمال	میرزا و مک‌گریگور
۹	مقاومت تسلیم میلگردهای طولی	(f_{yl})	۴۵۰	MPa	۰/۰۹۳	بتاب	میرزا و مک‌گریگور
۱۰	مقاومت تسلیم میلگردهای عرضی	(f_{ys})	۳۵۰	MPa	۰/۰۹۳	بتاب	میرزا و مک‌گریگور
۱۱	درصد آرماتور طولی	(ρ_{sl})	۰/۰۳	-	۰/۰۴	لوگ نرمال	میرزا و مک‌گریگور
۱۲	درصد آرماتور عرضی	(ρ_{sh})	۰/۰۲	-	۰/۰۴	لوگ نرمال	میرزا و مک‌گریگور
۱۳	کرنش نهایی میلگردهای طولی	(ε_{ul})	۰/۰۱	-	۰/۱۷۳	نرمال	میرزا و مک‌گریگور
۱۴	مقاومت نهایی میلگردهای طولی	(f_{ul})	۶۵۰	MPa	۰/۰۸	بتاب	میرزا و مک‌گریگور
۱۵	مدول کشسانی فولاد	(E_S)	۲۰۰۰۰۰	MPa	۰/۰۳۳	نرمال	میرزا و مک‌گریگور
۱۶	کرنش نهایی میلگردهای عرضی	(ε_{uh})	۰/۰۱۵	-	۰/۱۷۳	نرمال	میرزا و مک‌گریگور
۱۷	قطر میلگردهای طولی	(d_{sl})	۲۰	mm	۰/۱۴۵	نرمال	لی و مسالم
۱۸	قطر میلگردهای عرضی	(d_{sh})	۱۰	mm	۰/۱۴۵	نرمال	لی و مسالم



شکل ۵. پلان آرایش میلگردها (وکیو (۲۰۰۲)).



شکل ۴. نمونه‌ی آزمایشگاهی (وکیو (۲۰۰۲)).

داده شده است. مشخصات مصالح فولاد و بتن نیز در جدول ۲ ارائه شده است.

دیوار برشی بالدار بتن مسلح نشان داده شده در شکل‌های ۴ و ۵، مدل اجزاء دیوار برشی بالدار بتن مسلح است که در شکل ۶ مشاهده می‌شود. مشینندی کلاسیک المان محدود برای تقسیم‌بندی دیوارهای برشی انتخاب شده است. اندازه‌ی مش استفاده شده در آنالیز اجراء محدود باید به اندازه‌ی کافی خوب باشد تا رفتار دقیق بتن را حاصل کند.^[۱۲] مشینندی المان‌های محدود ارائه شده در مدل اجراء محدود با اندازه‌ی المان 150×150 میلی‌متر شامل 5406 mm^3 solid و 31171 mm^3 گره بوده است.

۲.۴. تأیید نتایج

منحنی هیسترزیس باگذاری چرخه‌یی مدل تحلیلی با مقادیر اندازه‌گیری شده مقایسه

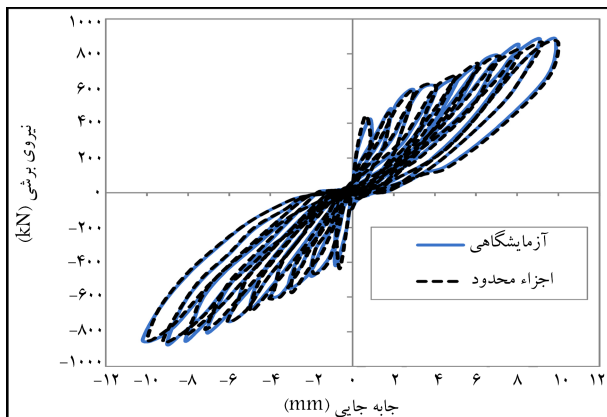
در بالا و پایین ساخته شده بودند. دال بالایی ($4415 \times 4000 \times 640 \text{ mm}$) برای توزیع بارهای چرخه‌یی و بار محوری به دیوار برشی به دیوار فوندانسیون ($4415 \times 4000 \times 620 \text{ mm}$) متصل به کف صلب آزمایشگاه به عنوان فوندانسیون صلب عمل می‌کرد. آرماتورهای فولادی از قطر 16 mm ، که در فاصله‌ی 140 میلی‌متر به صورت افقی و 130 میلی‌متر به صورت عمودی در دو لایه‌ی موازی قرار داشتند، در جان دیوار استفاده شده بودند. بالهای دیوار برشی نزدیک جان دیوار نیز با همین آرایش مسلح شده بودند، اما نزدیک نوک بال‌ها، فاصله‌ی مذکور به 355 mm میلی‌متر افزایش یافته بود. در دیوار برشی مدل سازی شده، رفتار تنش - کرنش بتن هسته و بتن پوششی (کاور) یکسان فرض شده است. اندازه‌ها و بعد از دیوار برشی و نحوه‌ی آرماتورگذاری در شکل‌های ۴ و ۵ به ترتیب نمایش

جدول ۲. مشخصات مصالح فولاد و بتن (وکیو ۲۰۰۲).

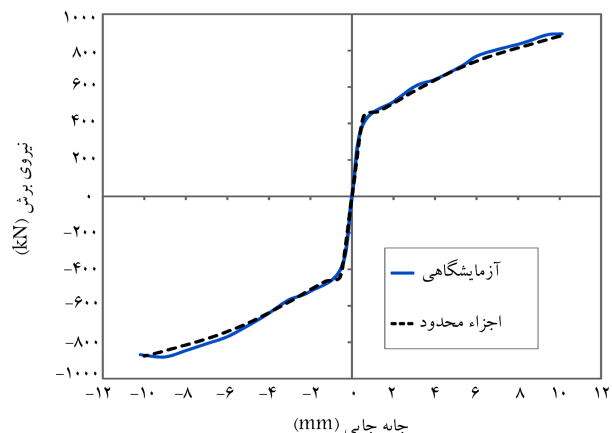
ناحیه	نوع آرماناتور	$(\times 10^{-3})$	$\varepsilon_c (MPa)$	$f'_c (MPa)$	$f_{su} (MPa)$	$f_{sy} (MPa)$	$\varepsilon_{sy} (\times 10^{-3})$
جان دیوار	D6	۲/۱۲	۱۸/۸	۶۵۲	۶۰۵	۳/۱۸	۳/۱۸
بال دیوار	D6	۲/۱۲	۱۸/۸	۶۵۲	۶۰۵	۳/۱۸	۳/۱۸
دال فوچانی	No.۳۰	۱/۹۶	۳۸/۰	۶۹۶	۵۵۰	۲/۵۱	۲/۵۱
دال تحتانی	No.۳۰	۱/۶۶	۳۴/۷	۶۹۶	۵۵۰	۲/۵۱	۲/۵۱

جدول ۳. مقایسه‌ی اندازه‌گیری عددی و نمونه‌ی آزمایشگاهی.

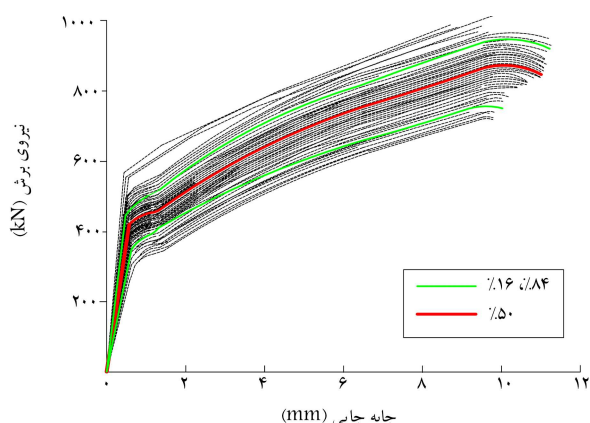
نوع آنالیز	بار ترک خودگی (kN)	تسلیم نهایی	بار حد (آزمایشگاهی) / P_{ul} (تحلیلی)
آنالیز اجزاء محدود	۲۵۸	۴۳۸	۸۸۹
نتایج آزمایشگاهی	۲۵۶	۴۳۰	۸۹۲



شکل ۷. نمودار هیسترزیس بار - تغییرمکان دیوار در نمونه‌ی آزمایشگاهی (وکیو ۲۰۰۲) و نرم‌افزار اجزاء محدود آباکوس.



شکل ۶. مدل اجزاء محدود دیوار برپی بالدار در نرم‌افزار آباکوس.



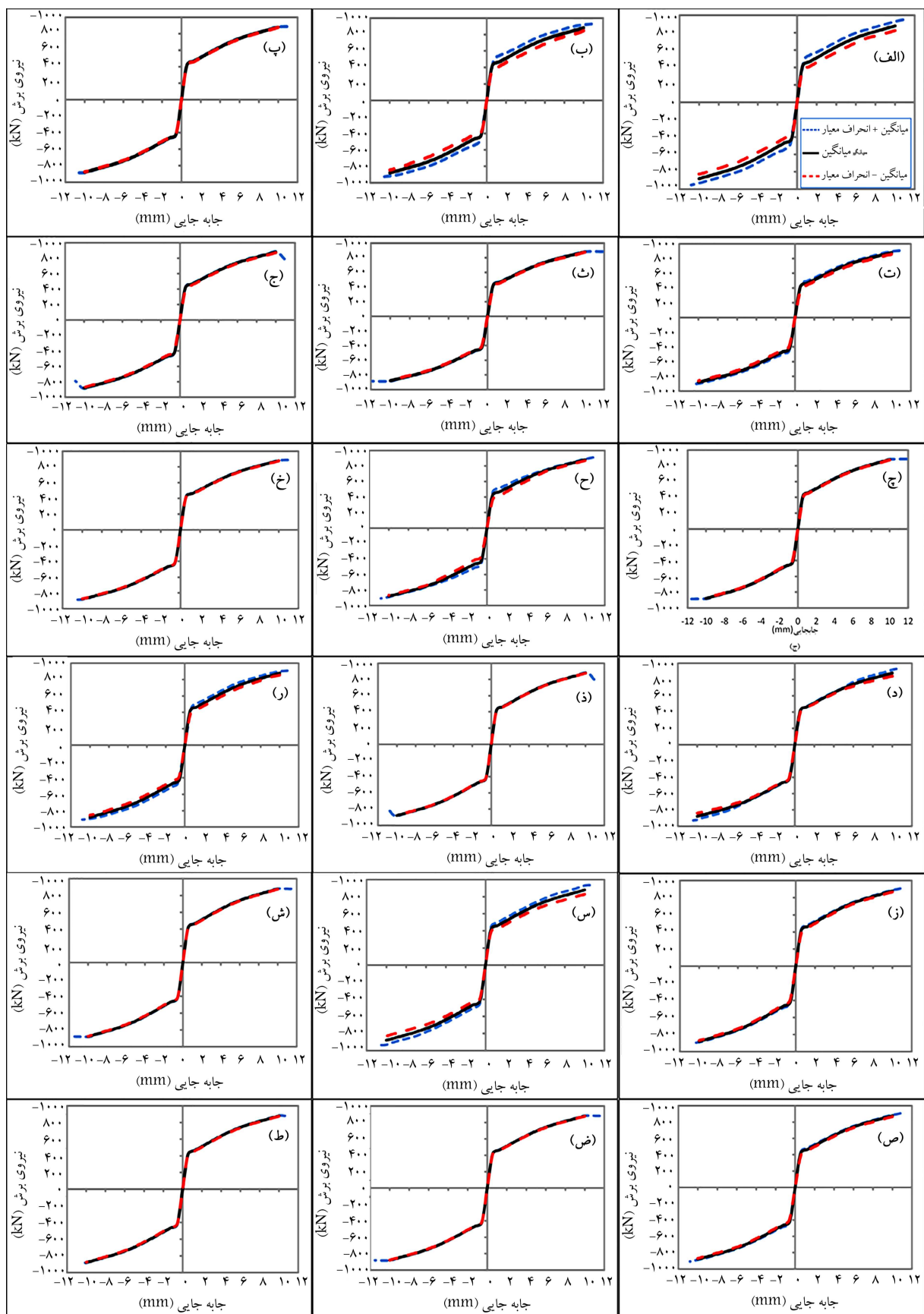
شکل ۸. حساسیت منحنی پوش تحلیلی به پارامترهای عدم قطعیت.

برای هر مدل سازه‌ی همان‌طور که در شکل ۸ مشاهده می‌شود، ایجاد می‌شود. نتایج آنالیزهای پوش‌آور برای طیف گسترده‌ی از متغیرها انجام گرفت، که تفاوت قابل توجهی در ظرفیت اتفاف انرژی و نیروی برپی پایه را نشان می‌دهد. مطابق شکل ۸، بیشینه‌ی مقادیر نیروهای برپی پایه در بازه‌ی $45^{\circ}-89^{\circ}$ کیلونیون متفاوت بوده است. ارزیابی‌های مذکور آثار قابل توجه عدم قطعیت‌های سازه‌ی در ظرفیت تحمل و اتفاف انرژی را مشخص می‌کند. بنابراین، بررسی ماهیت تصادفی و سهم

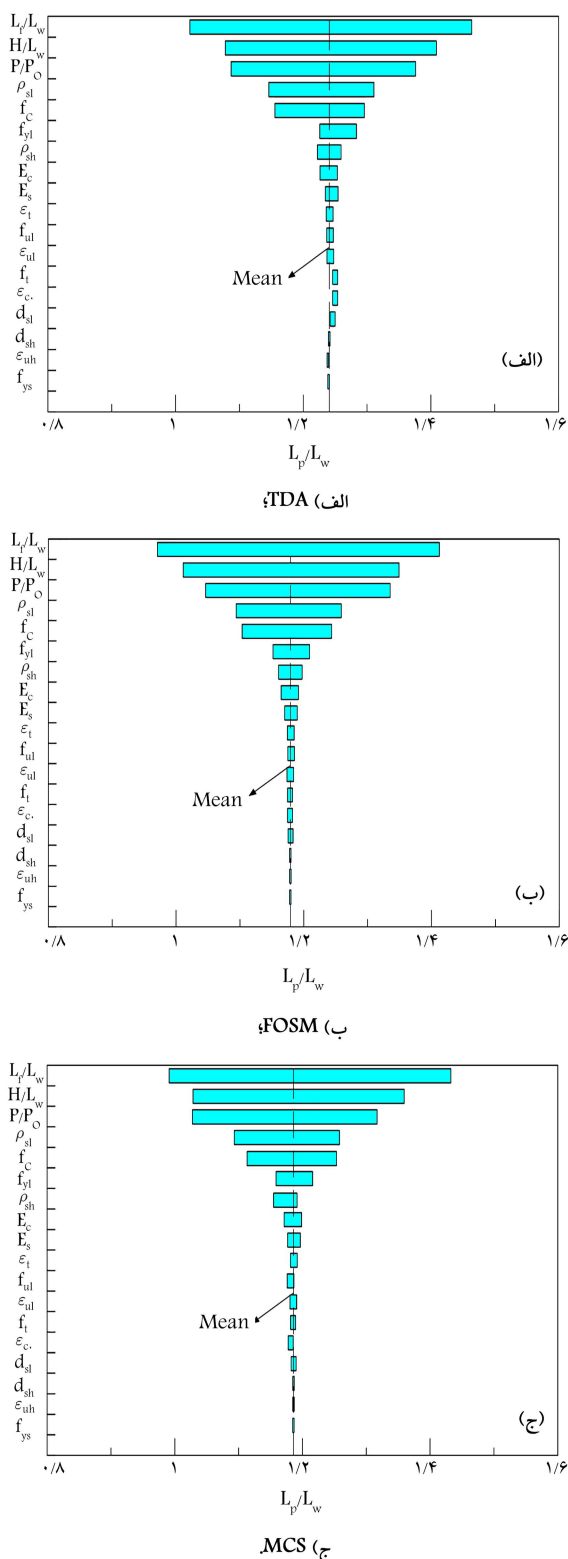
شده است که در شکل ۷ مشاهده می‌شود. مقایسه‌ی عددی و مقادیر آزمایشگاهی در جدول ۳ نشان می‌دهد که برنامه‌ی اجزاء محدود، نتایج منطقی ارائه می‌کند و به همین ترتیب می‌تواند در تخمین رفتار غیرخطی دیوارهای برپی پنهان تحت بارهای دینامیکی استفاده شود. در آخرین مرحله‌ی بارگذاری، زاویه‌ی شیب کرنش فشاری اصلی تقریباً ۴۵ درجه است. تحت افزایش نیروهای برپی، هر دو کرنش فشاری و کششی اصلی افزایش یافته و برابر شده‌اند. کرنش خمیری و الگوی ترک خودگی در جان دیوار با نتایج آزمایشگاهی کاملاً همخوانی داشته است. خلاصه، در بخش حاضر، با مدل‌سازی اجزاء محدود دیوار برپی بالدار پنهان آزمایش شده توسط پالمو و وکیو (۲۰۰۲) و مقایسه‌ی نتایج از قبیل ترک خودگی، بارهای حد نهایی و تسلیم، الگوی ترک خودگی و همچنین میران انرژی مستهلك شده در هر چرخه مشخص شده و انحراف نتایج تحلیلی در مقایسه با نتایج آزمایشگاهی بسیار کم بوده است کمتر از ۱٪ خط با درنظرگرفتن بسیاری از متغیرهای ورودی ناشناخته بوده است. با این حال، این سطح از دقت در نظر گرفته شده قابل قبول است.

۵. نتایج و بحث‌ها

معرفی و انتشار عدم قطعیت‌ها به وسیله‌ی آنالیز عدم قطعیت نمونه‌های انتخاب شده بررسی شده است. بنابراین، منحنی‌های پوش تصادفی با انجام آنالیز عملکردی



شکل ۹. حساسیت منحنی های به پارامترها عدم قطعیت انتخاب شده.



شکل ۱۰. نمودار تورنادو برای نمونه‌هایی بررسی شده بر اساس:

۱۰. سطح بار محوری و نسبت ابعاد، تأثیر زیادی در طول ناحیه‌ی خمیری داشته است. در پژوهش حاضر می‌توان یک مقایسه بین نتایج نمودارهای تورنادو و روش

پارامترهای مؤثر در مطالعات مفصل خمیری بسیار مهم است. می‌توان مشاهده کرد که اختلاف منحنی‌های پوش در ابتدا بسیار کوچک بوده است، در حالی که با افزایش جایه‌جایی جانبی، به سرعت اختلاف مذکور افزایش یافته است. در جایه‌جایی‌های جانبی بزرگ، تغییرات بسیار زیاد است. سطح بالای تغییرات ذکر شده نشان می‌دهد که درنظرنگرفتن اثر عدم قطعیت‌های سازه‌یی در آنالیز مفصل خمیری بسیار غیرمنطقی و پر ریسک است؛ زیرا که می‌تواند موجب تخمین نادرستی از طول مفصل خمیری در شرایط تغییرشکل‌های بزرگ شود. از آنجا که هدف از آنالیز حساسیت، بررسی عملکرد تغییرات دیوار بر Shi به‌الدار تحت پارامترهای عدم قطعیت است، متغیرهای تصادفی با سه سطح مشخص می‌شوند که به ترتیب شامل مقدار پایه و حد بالا و پایین مربوط به میانگین و یک انحراف معیار بالاتر و پایین تراز میانگین هاست. این بدان معنی است که آنالیزهای backbone (backbone) مطابق شکل ۹ ارزیابی می‌شود. در این شکل، منحنی با پارامترهای میانگین به عنوان یک خط سیاه ظاهر شده است، در حالی که منحنی‌های مربوط به حد های بالا و پایین در اطراف آن پراکنده شده‌اند. این فرایند برای منحنی‌های backbone و منحنی چرخه ای اتفاق منحنی بار- تغییر مکان جانبی، منحنی‌های backbone و منحنی چرخه ای اتفاق افزایشی و چرخه ای طول سطح تسلیم انجام شده است. به دلیل محدودیت صفات نوشتار، فقط نتایج منحنی‌های backbone ارائه شده است. همان‌طور که در شکل ۹ مشاهده می‌شود، پارامترهای P/P_o و L_f/L_w و ρ_{sl} و f_c و ρ_{sh} آثار بسیار زیادی دارند، در حالی که بقیه پارامترها، آثار بسیار کمی را نشان می‌دهند، زیرا سه منحنی مذکور تقریباً قبل تشخص نیستند. نتایج نشان می‌دهد که نسبت ارتفاع به طول دیوار و طول بال به طول جان، آثار چشمگیری در نتایج آنالیز چرخه‌یی دارد که در شکل ۹ (الف و ب) مشاهده می‌شود. در مقایسه با نسبت ابعاد، سطح بار محوری، تأثیر کمتری نشان می‌دهد. آنچه مشخص است که f_{uL} در ابتداء آثار زیادی می‌گذارد، با این حال آثار آن با افزایش جایه‌جایی تا مقدار بیشینه‌ی نیروی جانبی که در آن پاسخ توسط مقاومت نهایی آرماتور (f_{uL}) کنترل می‌شود، کاهش می‌یابد. همان‌طور که در شکل ۹ (د) مشاهده می‌شود، آثار f_{uL} پاسخ اخیر را بیشتر تأیید می‌کند. به علاوه آرماتورهای عرضی (ρ_{sh}) و مدول کشسانی بتون و فولاد نیز آثار خوبی دارند. برخی از پارامترهای باقیمانده، آثار واضحی در ظرفیت تغییرشکل نهایی دیوار بر Shi به‌الدار نشان می‌دهند. به عنوان مثال، افزایش پارامترهای مربوط به کرنش ϵ_t و ϵ_u در اولین انحراف معیار بالای میانگین می‌توانند تغییر مکان جانبی نهایی دیوار بر Shi به‌الدار را به صورت معناداری افزایش دهند.

حساسیت هر پارامتر نامشخص بر روی طول مفصل خمیری توسط نمودارهای تورنادو بررسی شده است. در نمودارهای تورنادو، نوسان‌های ناشی از متغیرهای تصادفی مختلف به ترتیب نزولی و برآسیس اندازه‌ی نوسان، از بالا به پایین مرتب می‌شوند. نوسان با عرض بیشتر به معنی تأثیر بیشتر متغیر تصادفی مرتبط با طول ناحیه‌ی خمیری است. به منظور مقایسه‌ی حساسیت براساس سه روش دیگر، نتایج روش‌های MCS و FOSM نیز به صورت نمودارهای تورنادو نشان داده است. برای اساس حساسیت هر پارامتر غیرقطعی به طول ناحیه‌ی خمیری از طریق نمودار تورنادو بررسی و نتایج آن در شکل ۱۰ نشان داده شده است که مطابق آن، سطح بار محوری (P/P_o) و نسبت ارتفاع به طول دیوار (H/L_w) و طول بال به طول جان دیوار (L_f/L_w) پارامترهای ρ_{sh} هستند که اهمیت آن‌ها در طول ناحیه‌ی مفصل خمیری کاملاً مشهود است. همچنین تأثیر پارامترهای f_c و ρ_{sh} نیز قبل توجه است. شکل ۱۰ نشان می‌دهد که متغیرهای

۶. نتیجه‌گیری

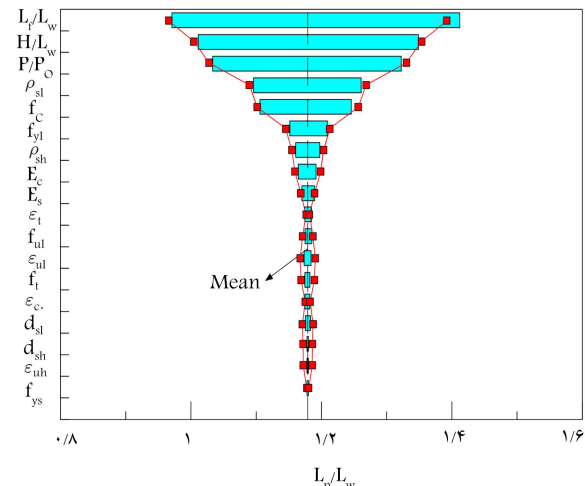
در نوشتار حاضر، با توجه به اهمیت طول ناحیه‌ی مفصل خمیری در رفتار لزه‌ی دیوار برشی بتن مسلح بالدار، اثر و اهمیت ماهیت متفاوتی متغیرهای بارگذاری، هندسه، و خصوصیات مصالح بتن و فولاد از طریق عدم قطعیت و آنالیز حساسیت بررسی شده است. سه روش شبیه‌سازی مونت‌کارلو، نمودار تورنادو و روش مرتبه‌ی اول لنگر دوم، در مطالعه‌ی حاضر استفاده شده است. ۱۸ پارامتر غیرقطعی به عنوان متغیرهای تصادفی در ۴ گروه، شامل: خصوصیات مصالح بتن، خصوصیات مصالح فولاد، بارگذاری و هندسه‌ی دیوار برشی بالدار انتخاب شدند. در انتهای، این نتایج به دست آمده است:

۱. نتایج درجه‌بندی اهمیت پارامترها در هر ۳ روش به کار گرفته شده، تقریباً یکسان بودند.

۲. اختلاف منحنی‌های پوش در تحلیل حساسیت پارامترهای مؤثر در ابتدا بسیار ناچیز بود و با افزایش جایه‌جایی جانبی به سرعت اختلاف اخیر افزایش یافته است. این تغییرات نشان می‌دهد منطقی نیست که از تأثیر عدم قطعیت‌های سازه‌ی در آنالیز مفصل خمیری غافل شد.

۳. مشخص شد که عدم قطعیت مربوط به بارگذاری، هندسه و خصوصیات مصالح بیشترین ارتباط را دارد. به طور خاص، ابعاد دیوار برشی بتن آرمه‌ی بالدار که شامل نسبت ارتفاع به طول دیوار (H/L_w), طول بال به طول جان دیوار شامل نسبت ارتفاع به طول دیوار (L_f/L_w), و سطح بار محوری (P/P_c), مقاومت فشاری بتن (f_c) و درصد فولاد طولی (ρ_{sl}) و مقاومت تسلیم آرماتورهای طولی (ρ_{sf}), در طول ناحیه‌ی مفصل خمیری نقش مهمی دارد.

۴. مقاومت تسلیم آرماتورهای طولی در ابتدا آثار بیشتری داشت، با این حال آثار آن با افزایش جایه‌جایی تا بیشینه‌ی نیروی جانبی، که در آن پاسخ به وسیله‌ی مقاومت نهایی میگردد، طولی کنترل می‌شود، کاهش می‌یابد.



شکل ۱۱. نمودار تورنادو طول ناحیه‌ی مفصل خمیری همراه با نمودار نوسانی برگرفته از آنالیز FOSM.

مرتبه‌ی اول لنگر دوم (FOSM) انجام داد. این کار را می‌توان با فرض یک توزیع لوگ نرمال از طول ناحیه‌ی خمیری با مقادیر میانگین و انحراف معیار به دست آمده از نتایج روش FOSM انجام داد. از این رو درصدهای ۱۰ و ۹۰ را می‌توان تأیید کرد. مقادیر به دست آمده، نقاطی هستند که در شکل ۱۱ و در میله‌های نمودار تورنادو مشاهده می‌شوند. سازگاری کافی بین دو روش حاصل شده است. با این حال باید یادآوری شود که گوشه‌های هر محور نوسانی در نمودارهای تورنادو، لزوماً درصدهای ۱۰ و ۹۰ نیستند، مگر اینکه رابطه بین طول ناحیه‌ی خمیری و متغیر تصادفی یکنواخت باشد. این حالت یکنواخت برای روش مرتبه‌ی اول لنگر دوم صادق است. شایان ذکر است که ترتیب اهمیت متغیرها، در دو روش مختلف متفاوت هستند، که مرتبه‌ی ویژگی‌های متغیرهای مرتبط است، و تأثیر کمی در طول ناحیه‌ی خمیری دارد.

پانوشت‌ها

1. Oesterle
2. Paulay & Priestley
3. Panagiotakos & Fardis
4. Thomsen & Wallace
5. Preti & Giuriani
6. Hoult
7. Mehmood
8. Rao
9. Wallace & Moehle
10. Bohl & Adebar
11. Epistemic Uncertainty
12. Seo & Linzell
13. Baker & Cornell
14. Lee & Mosalam
15. Swing
16. Abaqus
17. Palermo & Vecchio
18. Combescure & Sollogoub

19. Brueggen, French & Sritharan

منابع (References)

1. ACI Committee 318, "Building code requirements for structural Concrete (ACI 318-19) and Commentary (ACI 318R-19)", American concrete institute, Farmington Hills, Michigan, USA (2019).
2. Paulay, T. "The design of ductile reinforced concrete structural walls for earthquake resistance", *Earthq. Spectr.*, 2(4), pp. 783-823 (1986).
3. Ghaderi Bafti, F., Mortezaei, A. and Kheyroddin, A. "The length of plastic hinge area in the flanged reinforced concrete shear walls subjected to earthquake ground motions", *Struct. Eng. Mech.*, 69(6), pp. 651-665 (2019).

4. ASCE/SEI 7-16, "Minimum Design Loads and Associated Criteria for Buildings and Other Structures", *American Society of Civil Engineers*, Reston, Virginia, USA (2017).
5. ASCE/SEI 41-17, "Seismic evaluation and retrofit of existing buildings", American Society of Civil Engineers, Reston, Virginia, USA (2017).
6. CSA A23.3-14, "Design of concrete structures-A national standard of Canada", Canadian Standards Association (CSA) (2014).
7. Mortezaei, A. and Ronagh, H.R. "Plastic hinge length of reinforced concrete columns subjected to both far-fault and near-fault ground motions having forward directivity", *Struct. Des. Tall Spec. Build.*, **22**(12), pp. 903-926 (2012).
8. Oesterle, R.G., Aristizabal-Ochoa, J.D., Shiu, K.N. and et al. "Web crushing of reinforced concrete structural walls", *ACI J.*, **81**(3), pp. 231-241 (1984).
9. Paulay, T. and Priestley, M.J.N. "Stability of ductile structural walls", *ACI Struct. J.*, **90**(4), pp. 385-392 (1993).
10. Panagiotakos, T.B. and Fardis, M.N. "Deformations of reinforced concrete members at yielding and ultimate", *ACI Struct. J.*, **98**(2), pp. 135-148 (2001).
11. Thomsen, J. and Wallace, J. "Displacement-based design of slender reinforced concrete structural walls-experimental verification", *J. Struct. Eng.*, **130**(4), pp. 618-630 (2004).
12. Preti, M. and Giuriani, E. "Ductility of a structural wall with spread rebars tested in full scale", *J. Earthq. Eng.*, **15**(8), pp. 1238-1259 (2011).
13. Hoult, R.D., Goldsworthy, H.M. and Lumantarna, E. "Plastic hinge length for lightly reinforced C-shaped concrete walls", *Journal of Earthquake Engineering*, **24**(7), pp. 1083-1114 (2020).
14. Mehmood, T., Hussain, K. and Warnitchai, P. "Seismic evaluation of flexure-shear dominated RC walls in moderate seismic regions", *Mag. Concrete Res.*, **67**(18), pp. 1003-1016 (2015).
15. Rao, G.V.R., Gopalakrishnan, N., Jaya, K.P. and et al. "Studies on nonlinear behavior of shear walls of medium aspect ratio under monotonic and cyclic loading", *J. Perform. Constr. Facilit.*, **30**(1), pp. 04014201 (2016).
16. Wallace, J. and Moehle, J. "Ductility and detailing requirements of bearing wall buildings", *J. Struct. Eng.*, **118**(6), pp. 1625-1644 (1992).
17. Bohl, A. and Adebar, P. "Plastic hinge lengths in high-rise concrete shear walls", *ACI Struct. J.*, **108**(2), pp. 148-157 (2011).
18. Kazaz, I. "Analytical study on plastic hinge length of structural walls", *J. Struct. Eng.*, **139**(11), pp. 1938-1950 (2013).
19. Mun, J.H. and Yang, K.H. "Plastic hinge length of reinforced concrete slender shear walls", *Mag. Concrete Res.*, **67**(8), pp. 414-429 (2015).
20. Kara, I.; Ashour, A. and Dundar, C. "Analysis of R/C frames considering cracking effect and plastic hinge formation", *Struct. Eng. Mech.*, **63**(5), pp. 669-681 (2017).
21. Beiraghi, H. and Kheyroddin, A. "Effect of plastic zone levels on the responses of concrete shear walls subjected to strong ground motions", *Proceedings of the Institution of Civil Engineers-Structures and Buildings*, , pp. 1-28 (2020).
22. Celarec, D. and Dolsek, M. "The impact of modelling uncertainties on the seismic performance assessment of reinforced concrete frame buildings", *Eng. Struct.*, **52**, pp. 340-354 (2013).
23. Zona, A., Ragni, L. and Dall'Asta, A. "Sensitivity-based study of the influence of brace over-strength distributions on the seismic response of steel frames with BRBs", *Eng. Struct.*, **37**, pp. 179-192 (2012).
24. Vamvatsikos, D. and Fragiadakis, M. "Incremental dynamic analysis for estimating seismic performance sensitivity and uncertainty", *Earthq. Eng. Struct. Dynam.*, **39**(2), pp. 141-163 (2010).
25. Rota, M., Penna, A. and Magenes, G. "A methodology for deriving analytical fragility curves for masonry buildings based on stochastic nonlinear analyses", *Eng. Struct.*, **32**(5), pp. 1312-1323 (2010).
26. Padgett, J.E. and DesRoches, R. "Sensitivity of seismic response and fragility to parameter uncertainty", *J. Struct. Eng.*, **133**(12), pp. 1710-1718 (2007).
27. Eldin, M.N. and Kim, J. "Sensitivity analysis on seismic life-cycle cost of a fixed-steel offshore platform structure", *Ocean Eng.*, **121**, pp. 323-340 (2016).
28. Porter, K.A., Beck, J.L. and Shaikhutdinov, R.V. "Investigation of sensitivity of building loss estimates to major uncertain variables for the Van Nuys test bed", Pacific Earthquake Engineering Research Center, University of California, Berkeley, USA (2002).
29. Celik, O.C. and Ellingwood, B.R. "Seismic fragilities for nonductile reinforced concrete frames -Role of aleatoric and epistemic uncertainties", *Struct. Safety*, **32**(1), pp. 1-12 (2010).
30. Seo, J. and Linzell, D.G. "Nonlinear seismic response and parametric examination of horizontally curved steel bridges using 3D computational models", *J. Bridge Eng.*, **18**(3), pp. 220-231 (2013).
31. Baker, J.W. and Cornell, C.A. "Uncertainty propagation in probabilistic seismic loss estimation", *Struct. Safety*, **30**(3), pp. 236-252, (2008).
32. Lee, T.H. and Mosalam, K.M. "Seismic demand sensitivity of reinforced concrete shear-wall building using FOSM method", *Earthq. Eng. Struct. Dynam.*, **34**(14), pp. 1719-1736 (2005).
33. Lee, T.H. and Mosalam, K.M. "Probabilistic Seismic Evaluation of Reinforced Concrete Structural Components and Systems", University of California, Berkeley, CA, USA (2006).
34. Clemen, R.T., *Making a Hard Decisions: an Introductory to Decision Analysis (2nd ed)*, Belmont, CA: Duxbury, pp. 50-84 (1996).
35. Baynes, L.C., "An evaluation of free field liquefaction analysis using OpenSees", M.Sc. Dissertation, University of Washington, Seattle, USA (2005).

36. Crozet, V., Politopoulos, I., Yang, M. and et al. "Sensitivity analysis of pounding between adjacent structures", *Earthq. Eng. Struct. Dynam.*, **47**(1), pp. 219-235 (2018).
37. Na, U.J., Chaudhuri, S.R. and Shinozuka, M. "Probabilistic assessment for seismic performance of port structures", *Soil Dynam. Earthq. Eng.*, **28**(2), pp. 147-158 (2008).
38. Lee, T.H. and Mosalam, K.M. "Probabilistic fiber element modeling of reinforced concrete structures", *Comput. Struct.*, **82**, pp. 2285-2299 (2004).
39. Palermo, D. and Vecchio, F.J. "Behavior of three-dimensional reinforced concrete shear walls", *ACI Struct. J.*, **99**(1), pp. 81-89 (2002).
40. Combescure, D. and Sollogoub, P. "IAEA CRP-NFE CAMUS benchmark experimental results and specifications to the participants annex III", *International Atomic Energy Agency (IAEA)*, , pp. 19-76 (2011).
41. Brueggen, B.L., French, C.E. and Sritharan, S. "T-shaped RC structural walls subjected to multidirectional loading: Test results and design recommendations", *J. Struct. Eng.*, **143**(7), pp. 04017040 (2017).
42. Mortezaei, A. and Kheyroddin, A. "Size effects in reinforced concrete flanged shear walls", *Int. J. Civil Eng.*, **7**(1), pp. 27-40 (2009).
43. Ellingwood, B., Galambos, T.V., MacGregor, J.G. and et al. "Development of a probability based load criterion for american national standard A58-building code requirement for minimum design loads in buildings and other structures", National Bureau of Standards, Dept. of Commerce, Washington, D.C., USA (1980).
44. Mirza, S.A. and MacGregor, J.G. "Variability in dimensions of reinforced concrete members", *J. Struct. Division*, **105**(ST4), pp. 751-766 (1979).